

وزارة التعليم العالي والبحث العلمي جامعة ميسان كلية التربية الاساسية

Ministry of Higher Education and Scientific University of Misan College of Basic Education

Misan Journal for Academic Studies Humanities, social and applied sciences

العادو الأنسائية والاحتمادية والأطيبة

ISSN (Print) 1994-697X (Online)-2706-722X

العدد 54 حزيران 2025

المجلد 24

June 2025

Issue 54 Vol 24



مجلة ميسان للدراسات الاكاديمية

العلوم الإنسانية والاجتماعية والتطبيقية

كلية التربية الأمامية/ جامعة عيمان/العراق

Misan Journal for Academic Studies

Humanities, social and applied sciences

College of Basic Education/University of Misan/Iraq

ISSN (Print) 1994-697X (Online) 2706-722X

حزيران 2025

العدد 54

24 المجلد

June 2025

Issue 54

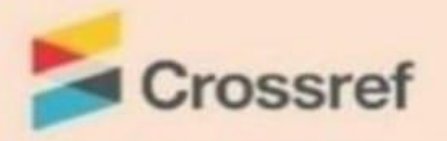
Vol 24























journal.m.academy@uomisan.edu.iq

رقم الايداع في دار الكتب والوثائق بفداد 1326 في 2009

الصفحة	فهرس البحوث	ت						
	Determine the bacterial resistance of Streptococcus sobrinus to							
8 - 1	antibiotics							
	Hanan Saleh Abdulhussain Mithal K.A. Al-Hassani							
	Incidence, pattern and management of mandibular fractures in Al-							
20 - 9	Anbar governorate in 100 patients	2						
	Sama Abdulsattar Abd Kamal Turki Aftan							
	Evaluation of salivary IL33 and IL37 in Periodontitis patients with							
29 - 21	and without type 2 diabetes mellitus	3						
	Fadya Basil mejbel Heba Fadhil Hassan							
	The Impact of the Waterfall Technique on Spelling Accuracy and							
46 - 30	Vocabulary Retention among Primary EFL Learners	4						
	Afrah Munshid Lahad							
	Salivary biomarkers of oxidants and antioxidants for chronic renal	5						
57 - 47	disease in patients undergoing maintenance hemodialysis							
	Geehan Nazar Ali Layla Sabri Yas							
	Early detection and segmentation of asphalt pavement cracks: Iraqi							
74 - 58	highways as case study	6						
	Shemeam T. Muhey Sinan A. Naji							
91 - 75	Buzzwords in English Parliament Elections	7						
	Atyaf Hasan Ibrahim, Narjis Audah Rashk Fatima Raheem Almosawi							
	Strategic Planning to Improve Creativity Using Artificial Intelligence							
108 - 92	for Islamic University of Minnesota Students USA Raed Mohammad Hanan Sobhi Abdullah Obaid Mohammed Arab							
	Almusawi Helwe jaber Qusquse Fatima Abdurrahman Al-Maraghi							
	The Effect of Crown Fabrication Materials on Wear Resistance and Retention Strength:							
116 - 109	An Experimental Study Using Statistical Analysis and Magnetic Resonance Imaging							
	Huda Jaafar Naser							
	Structural and Optical Properties of Copper Oxide Nanoparticles							
122 - 117	Synthesized by Chemical Precipitation Method	10						
	Uday Ali Sabeeh Al-Jarah							
	Exploring Ideological Positioning in Barack Obama's Speech on							
145 - 123	Same-Sex Marriage: An Appraisal Theory Analysis	11						
	Adawiya Jabbar Kadhim Ali Abdulhameed Faris							
	Evaluating the Government Hospitals' Efficiency and Their Impact							
164 - 146	on Human Development in Iraq	12						
	Wafaa Hasan Jabur Luma Abdul Manaf Raheem							
174 165	Enzymatic activity of fungi isolated from Otomycosis	13						
174 - 165	Azhar Lilo Sayyid Ali A Kasim							

196 - 175	The Reality of Primary School Teachers' Practice of Professional Accreditation Standards in Light of Approaches to Teacher Professionalization from the Supervisors' Point of View Amera Ali Hasoon Ghasan Kadhim Jabber						
212 107	The relationship of abrogation between the Qur'an and the Sunnah	4 -					
212 - 197	Ali Dhaigham Taher	15					
	Visual Art Methods and Techniques in Contemporary Art -						
230 - 213	American Painting as a Model						
	Bayad Abdullah Faqi Ameen Nemat Mohammed Redha Hussein						
	Word-Displacement in The Poetry of Alsa'aleek "Vagabonds"						
245 - 231	(Selected Examples)	17					
	Maitham Raheem Shaghati						
	The deficiency of language in perspective the martyr Muhammad Al-						
259 - 246	Sadr in the book of Menna Al-Mannan in Defense of the Qur'an.	18					
	Salem Rahim Maaleh						
	The Employment of Historical Symbolism by the Poets of the						
272 - 260	Seventies Generation:(Khazal Al-Majidi as a Model)						
	Nadam JAbbar Nassr						
	The Level of Employing Professional Technical Skills by Art						
	Education Teachers in Integrating the Relationship Between the						
304 - 273	Sciences and the Arts, from the Perspective of Specialty Supervisors						
	Zainab Abdul Hussein Jaber Ammar Jabbar Hussein Al-Wahaj						
	Ghassan Kazim Gabr						
	The Impact of a Teaching Strategy Based on TRIZ Theory on						
321 - 305	Developing Higher-Order Thinking Skills Among Gifted Students in						
321 - 303	Mathematics						
	Saja Hussein Koma Alaa Ali Hussein						
335 - 322	The poetic image in the Diwan of Al-Oqaisher Al-Asadi	22					
333 - 322	Faten Rajeh Abdel Hameed						
	The efficiency of some Iraqi clays in adsorbing lead using miscible						
345 - 336	displacement method	23					
	Abathur Sabar Khalaf Hashim Haneen Kareem Mahdi Wasmy Soheib						
	Effectiveness of the Innovative Matrix Strategy in the Achievement						
365 - 346	of Students in the Department of Artistic Education in the Subject of	24					
505 - 540	Arabic Calligraphy	4 1					
	Multaqa Nassir Jabbar						
	The Intertextuality in Modern Novel: a case study in its origins,						
377 - 366	manifestations, and Interpretation						
	Raed Radhi Bkheet						



ISSN (Print) 1994-697X ISSN (Online) 2706-722X

DOI:

https://doi.org/10.5463 3/2333-024-054-023

Received: 2 / Dec / 2024 Accepted: 14 / Jan/2025 Published online: 30/June/2025



















The efficiency of some Iraqi clays in adsorbing lead using miscible displacement method

Abathur Sabar Khalaf¹ Hashim Haneen Kareem² Mahdi Wasmy Soheib³

1,3 college of agriculture, university of Wasit

College of basic education, University of Misan

hashim.hanin@uomisan.edu.iq email:
https://orcid.org 0000-0002-2720-7381

Abstract:

This study was conducted to evaluate the efficiency of Iraqi clays in adsorbing, holding, and trapping lead. To achieve this purpose, a group of sites were selected that were distinguished by their high clay content, and included Dhi Qar Governorate (Al-Fajr, Al-Shatrah, Al-Rifai, Sayyid Dakhil, Al-Islah), Maysan Governorate (Ali Al-Gharbi, Ali Al-Sharqi, Al-Maymouna, Al-Majjar Al-Kabir) and Wasit Governorate (Al-Aziziyah, Al-Numaniyah, Al-Ahrar) where soil models were collected from a depth of (0-30) cm and transported to the laboratory, dried, ground, and sieved with a sieve with a diameter of 2 mm to prepare them for laboratory analysis, which included measuring some physical, chemical, and mineral characteristics as well as estimating the content of the element lead. Mineral analysis was conducted using X-ray diffraction. After separating the clay by removing binders, the concentration of lead ranged between (6.5-30.4) mg/kg, where the highest value was in Al-Amarah, the center of Maysan Governorate, while the lowest value was recorded in Al-Maymouna District, Maysan Governorate, A laboratory experiment was conducted by making glass columns of soil and washing them with solutions of elemental lead at different concentrations and periods to shed light on the ability of clay to adsorb, hold, and trap elemental lead Adsorption equations were applied in the studied soil samples to determine the ability of these soils to adsorb and extract the constants of these equations. Adsorption equations were applied to the lead element of some of the studied soils to determine their efficiency in adsorbing this element, as the results showed the superiority of the Numaniyah soil in Wasit Governorate in the values of maximum adsorption qmax. It recorded 71%, while the lowest values were in Maysan Governorate, Ali Al-Gharbi District, where the removal efficiency reached 36%. This naturally reflects the high efficiency of Numaniyah soil in removing lead from contaminated soil. As for the values of the correlation coefficient (R2), the results showed the superiority of the Lankmeyer equation in the values of the correlation coefficient, as it gave high values for the correlation coefficient compared to the Friedlich equation, which is due to the nature of the clay minerals prevailing in this soil, represented by montmorillonite minerals, which is characterized by a high specific surface area and cation exchange capacity, which It represents the amount of negative charges carried by this metal. As for the values of the correlation coefficient (R2), the results showed the superiority of the Lankmeyer equation in the values of the correlation coefficient, as it gave high values for the correlation coefficient compared to the Friedlich equation, which is considered one of the experimental equations.

Keywords: Iraqi clays, adsorption efficiency, lead, miscible displacement

كفاءة بعض الاطيان العراقية في امتزاز الرصاص باستخدام طريقة الازاحة الامتزاجية

اباذر صبار خلف 1 هاشم حنین کریم 2 مهدی وسمی صحیب 3 جامعة واسط /کلیة الزراعة $^{1/3}$:جامعة میسان /کلیة التربیة الأساسیة

المستخلص

أجريت هذه الدراسة بهدف تقييم كفاءة الاطيان العراقية في امتزاز ومسك واحتجاز عنصر الرصاص ولتحقيق هذا الغرض تم انتخاب مجموعة من المواقع تمتاز بمحتواها العالى من مفصول الطين وشملت محافظة ذي قار (الفجر ، الشطرة، الرفاعي، سيد دخيل ، الإصلاح) ومحافظة ميسان (على الغربي ، على الشرقي ، الميمونة ، المجر الكبير) ومحافظة واسط (العزيزية ، النعمانية ، الاحرار) حيث جمعت نماذج التربة من عمق (0-30)سم ونقلت للمختبر وجففت وطحنت ونخلت بمنخل قطر فتحاته 2 ملم من اجل تهيئتها للتحليل المختبري والذي تضمن قياس بعض الصفات الفيزبائية والكيميائية والمعدنية فضلا عن تقدير محتوى عنصر الرصاص ، اجري التحليل المعدني باستخدام حيود الاشعة السينية بعد فصل الطين من خلال إزالة المواد الرابطة ، تراوح تركيز عنصر الرصاص بين (6.5-30.4) ملغم /كغم حيث كانت اعلى قيمة في العمارة مركز محافظة ميسان بينما ادنى قيمة سجلت في قضاء الميمونة التابع لمحافظة ميسان ، أجريت تجرية مختبرية من خلال عمل أعمدة زجاجية للترية وتم غسلها بمحاليل عنصر الرصاص وبتراكيز وفترات زمنية مختلفة من اجل تسليط الضوء على قابلية الاطيان في امتزاز ومسك واحتجاز عنصر الرصاص ، تم تطبيق معادلات الامتزاز في عينات التربة المدروسة من اجل معرفة قابلية هذه الترب على الامتزاز واستخراج ثوابت هذه المعادلات تطبيق معادلات الامتزاز على عنصر الرصاص لبعض الترب المدروسة لمعرفة كفائتها في امتزاز هذا العنصر حيث أوضحت النتائج تفوق تربة النعمانية في محافظة واسط في قيم الامتزاز الأعظم qmax وسجلت 71% بينما كانت اقل القيم في محافظة ميسان ناحية على الغربي حيث بلغت كفاءة الازالة 36% وهذا يعكس بطبيعة الحال الكفاءة العالية لتربة النعمانية في إزالة عنصر الرصاص من التربة الملوثة .اما قيم معمل الارتباط (R²) فقد بينت النتائج الى تفوق معادلة لانكماير في قيم معامل الارتباط حيث أعطت قيم مرتفعة لمعامل الارتباط مقارنة مع معادلة فرندلخ والذي يعزى الى طبيعة المعادن الطينية السائدة في هذه التربة والمتمثلة بمعادن المونتموريلونايت الذي يتصف بالمساحة السطحية النوعية العالية والسعة التبادلية الكتيونية التي تمثل كمية الشحنات السالبة التي يحملها هذا المعدن.اما قيم معمل الارتباط (R²) فقد بينت النتائج الى تفوق معادلة لانكماير في قيم معامل الارتباط حيث أعطت قيم مرتفعة لمعامل الارتباط مقارنة مع معادلة فرندلخ التي تعد من المعادلات التجريبية.

الكلمات المفتاحية: الاطيان العراقية، كفاءة الامتزاز، الرصاص، الازاحة الامتزاجية

المقدمة

تلعب المعادن الطينية دورا هاما واساسيا في استصلاح ومعالجة الترب المتأثرة بعملية التلوث بكافة اشكالها ، حيث اكتسبت المعادن الطينية هذا الدور من خلال امتلاكها لبعض الخصائص الفيزيوكيميائية الفريدة والفعالة الى جانب وفرة وجودها في معظم الترب ،ويأتي في مقدمة هذه الخصائص هي خصائص السطوح والمتمثلة بالمساحة السطحية النوعية وكثافة الشحنات السالبة على سطوحها ، والتي تزداد كلما صغر حجم دقائق الطين لا سيما في الحجم الغروي اقل من 1 مايكرون , Bergaya and Lagaly) (2013)



تتباين مقدرة المعادن الطينية في حجز الملوثات تبعا لعوامل عديدة منها نوع المعدن الطيني وكميته فضلا عن قابليته الامتزازية والتي بدورها تعتمد على حجم المعدن والذي يحدد المساحة السطحية النوعية وكثافة الشحنات، ومن الأمثلة على هذه المعادن هي المونتموريللونايت والبنتونايت والكاؤلينايت والزيولايت وغيرها (Dong etal,2021).

أجريت العديد من الدراسات لمعرفة مقدرة المعادن الطينية على حجز العناصر الثقيلة على سطوحها وتحويلها من الحالة الفعالة الى الحالة الخاملة وبالتالي تقليل خطر التلوث بهذه العناصر، وتعد الترب العراقية من الترب الجيدة في محتواها من المعادن الطينية بجانب تفاقم مشكلة التلوث بالعناصر الثقيلة نتيجة المخلفات الصناعية والمنزلية والزراعية والنفطية لذا جاءت هذه الدراسة بهدف تقييم كفاءة بعض الاطيان والترب العراقية في معالجة التلوث بالعناصرالثقيلة (2018). الرصاص عنصر من العناصر الثقيلة له درجة انصهار منخفضة ولونة مزرق الى الرمادي وكثافته 11.34 غم اسم 5 و العدد الذري 207.2 غم و درجة انصهاره محتة الانسان تتأثر في توجد عنصر الرصاص في حال الزيادة عن الحدود المسموح بها يأتي الرصاص من النشاطات البشرية مثل استخدام مصانع الاصباغ وصناعه البطاريات وعمليات الطباعة ومن أهمها عوادم السيارات -AL). Omar,2017)

وبناءا عليه هدفت هذه الدراسة الى تقييم كفاءة بعض الاطيان والترب العراقية في وسط وجنوب في معالجة التلوث بعنصر الرصاص .

المواد وطرائق العمل:

نظرا لكون الدراسة تستهدف اختبار كفاءة بعض الاطيان العراقية فقد تم التركيز في هذه الدراسة على اختيار مجموعة من الترب تمتاز بمحتواها العالي نسبيا من مفصول الطين مع مراعاة ان تكون هذه الترب متباينة من ناحية كمية ونوعية الاطيان التي تحتويها وبناءا على ذلك فقد اختيرت تسعة مواقع للترب موزعة على ثلاثة محافظات وسط وجنوب العراق تقع اربعة منها في محافظة واسط وتمثلت بمواقع (العزيزية والنعمانية والاحرار والحي) وثمانية مواقع في محافظة ميسان تمثلت بمواقع (على الغربي ، على الشرقي ، كميت ، العمارة ، الميمونة ، المجر ، العزير ، البتيرة) وعشرة مواقع في محافظة ذي قار تمثلت بمواقع (قلعة سكر ، الرفاعي ، الدواية ، الشطرة ، الفجر ، الناصرية ،سيد دخيل ، سوق السيوخ ، الغراف ، الإصلاح) .

بعد اختيار المواقع وتثبيت احداثيات الموقع (خطوط الطول ودوائر العرض) تم استحصال عينات سطحية من عمق 0-30 سم بما يعادل 5 كغم وضعت في أكياس باستيكية بعد تعليمها بعلامات واضحة وجلبت الى مختبرات كلية الزراعة/جامعة واسط من اجراء التحليلات المطلوبة عليها .

بعد أخذ عينات التربة من كل أفق وضعت في أكياس خاصة ورقمت ونقلت إلى مختبرات كلية الزراعة جامعة واسط حيث جففت هوائيا ونخلت بواسطة منخل قطر فتحاته 2مم وحفظت في علب بلاستيكية.

تم تقدير بعض الخصائص الفيزيائية والكيميائية والمعدنية لعينات التربة فضلا عن تقدير محتوى الرصاص في الترب المدروسة وحسب (Page etal, 1982) جدول (1).

تم استخدام طريقة الاتزان المستقر patch experiment من خلال عمل أعمدة تربة قطرها 5 سم وبارتفاع 50 سم تم وضع 100 غم تربة بعد طحنها تم امراها من منخل قطر فتحاته 2 ملم بعدها تم تحضير محاليل العناصر الثقيلة (الرصاص ، النيكل ، الكادميوم) وبتراكيز 0 و 5 و 25 مايكروغرام/غم تم تحضير النيكل من ملح كبريتات الرصاص والنيكل من كبريتات النيكل والكادميوم من كبريتات الكادميوم ، تم إضافة محاليل العناصر بواقع 100 مللتر لتمر من عمود التربة وبثلاث فترات زمنية 30 و 35 و 60

مجلة ميسان للدراسات الأكاديمية

مجلد 24 العدد 54 حزيران 2025

دقيقة على التوالي ، تم استقبال الراشح اسفل العمود ليتم قياس تركيز العناصر الثقيلة باستخدام جهاز الامتصاص الذري absorption.

حسبت الكمية الممتزة من العنصر الثقيل من خلال المعادلة التالية: (Yaseen,2020)

qe=(ci-ce)v/w

qe = كمية العنصر الممتز (مايكروغرام/غم) Ci = تركيز العنصر الابتدائي

ce = تركيز العنصر عند الاتزان عند الاتزان Ce

W = وزن التربة

كما تم حساب كفاءة الازالة removal efficiency من خلال العلاقة التالية:

E(%)=ci-cf/ci*100

Cf تركيز الاتزان

اخضعت نتائج التجربة الى معادلات الامتزاز حيث تم استخدام معادلتي لانكماير Langmuer ومعادلة فريندلخ Frendlich في حساب الامتزاز الأعظم وطاقة الربط وثابت الاتزان .

جدول (1) بعض الصفات الكيميائية لعينات ترب الدراسة

Pb	كغم	ن مليمول/	ات السالبا	الايونا) /كغم	بة مليمول	ات الموج	الايوا	Ec		11		
mg/kg	SO 4=	Cl⁻	HCO 3 ⁻	CO3	Na ⁺	K⁺	Ca ⁺⁺	Mg ⁺⁺	ديس <i>ي</i> سمنز /م	рН	العمق (سم)	المقاطعة	المحافظة
12.2	62	331	1.81	Nil	20.74	0.69	16.9	8.6	30.55	7.44	0 -0		
	0										3	المركز	
27.9	61	268	1.9	Nil	14.88	0.28	11.3	9.3	29.1	7.4	0 -0		
	9										3	الغراف	
6.98	51	278	1.8	Nil	19.3	0.43	9.11	7.28	2.29	7.57	0 -0		ذ <i>ي</i> قار
	9										3	الفجر	
11.1	73	314	1.4	Nil	11.3	0.88	17.1	9.8	21.8	7.36	0 -0		
	0										3	قضاء شطرة	
14.2	71	310	1.68	Nil	20.3	0.69	12.4	8.1	22.5	6.89	0 -0		
	0										3	الرفاعي	
9.8	54	210	2.3	Nil	22.9	0.55	17.3	10.3	11.91	7.17	0 -0		
	4										3	قلعة سكر	
13.4	63	217	1.83	Nil	18.1	0.35	12.8	8.6	5.54	7.76	0 -0		
	2										3	الاصلاح	
12	66	319	2.02	Nil	12.48	0.81	10.2	10.6	5.91	7.47	0 -0	دواية	

مجلة ميسان للدراسات الأكاديمية

مجلد 24 العدد 54 حزيران 2025

		3											7	
		-0	0	7.49	6.42	7.4	12.3	0.41	17.98	Nil	1.76	244	55	11.4
د	سید دخیل	3											4	
	الاحرار	-0	0	7.89	7.11	8.2	16.8	0.48	15.3	Nil	1.8	293	49	17
	الاحرار	3											8	
	الغربية	-0	0	7.2	7.43	9.3	17.4	0.87	16.9	Nil	1.9	317	61	16
	, ــرــِــ	3											0	
واسط	الحي	-0	0	7.32	6.7	6.9	12.4	0.6	18.4	Nil	2.1	310	74	19.2
_	·	3											1	
	العزيزية	-0	0	7.11	9.14	8.7	10.9	0.4	16.3	Nil	1.3	298	68	9.45
		3											9	
	النعمانية	-0	0	7.5	11.45	9.3	14.3	0.61	21.38	Nil	1.89	360	61	15
		3											5	
	على الشرق	-0	0	7.6	3.19	6.8	13.8	0.71	17.44	Nil	1.49	291	59	16.9
		3											1	
	المركز	-0	0	7.88	1.02	7.46	17.2	0.47	22.4	Nil	1.97	374	70	30.4
		3		1	10.1		1.0	0.01	10.0		1.00	201	1	- 1
	على الغربي	-0 2	0	7.64	19.1	7.17	16.8	0.31	19.3	Nil	1.88	291	61	24
میسان		3	0	7 11	25.1	7.4	16.4	0.77	10.02	NI:I	1 40	27.4	1	(5
	الميمونة	-0 3	U	7.11	35.1	7.4	16.4	0.77	18.93	Nil	1.48	274	63	6.5
_		-0	0	7.66	7.2	9.8	12 /	0.78	20.4	Nil	1.74	310	60	18.7
	كميت	3		7.00	1.2	7.0	13.4	0.76	20.4	1 411	1./4	310	3	10.7
		-0	0	7.52	2.46	6.7	9.8	0.87	13.9	Nil	2.15	321	69	19.2
	المحر الكبير	3		7.52	2.10	3.7	7.0	0.07	13.7		2.10	221	1	17.2

تطبيق معادلات الامتزاز في دراسة كفاءة الاطيان في إزالة عنصر الرصاص من التربة:

من اجل تسليط الضوء على قابلية الاطيان في امتزاز ومسك واحتجاز العناصر الثقيلة المدروسة (الرصاص والنيكل والكادميوم تم تطبيق معادلات الامتزاز في عينات التربة المدروسة من اجل معرفة قابلية هذه الترب على الامتزاز واستخراج ثوابت هذه المعادلات. ويبين الجدول (2) صيغ المعادلات الخطية المستخدمة في التجربة لمعادلتي لانكماير وفريندلخ.

جدول (2) صيغ المعادلات الخطية واللاخطية

المفردات (الثوابت)	تقاطع	الصيغ الخطية	المعادلات	نموذج
	الاحداثيات			التماثل
Kf=exp(intercept),	Lnqe vs.	Ln qe=lnKf + n−1 lnCe	qe=Kf(Ce) ^{1/n}	Freundlich
n= (slope) ⁻¹	InCe			
qm=(intercept) ⁻¹	Ce/qe	Type(I)1/qe=(1/KLqmCe)+(1/qm)		
KL=intercept/slope	vs. Ce			
qm=(slope)-1	qe/Ce	Type(II)	ao-(amKl Co)/	
KL=slope/intercept	vs. qe	Ce/qe=(1/Klqm)+(Ce/qm)	qe=(qmKLCe)/ (1+KLCe)	Langmuir
qm=-(intercept/slope)	qe vs.	Type(III) qe/Ce=KLqm-KL-qe	(1111200)	
KL= - slope	qe/Ce			
		Type(IV) qe=qm-(1/KL)qe/C		

من اجل توضيح حالة الامتزاز بصورة دقيقة فان التحليل يتطلب دراسة الاتزان وتطبيق معادلات اتزان التماثل الحراري ولهذا اتم اختيارمعادلتين لوصف عملية امتزاز العناصر الثقيلة على عينات التربة هما معادلة لانكماير التي تفترض ان الامتزاز يكون على شكل طبقه واحده من المادة الممتزه (Adsorbate) على مواقع محدده من سطح الامتزاز المتجانسة (Homogeneous) في الطاقة وهناك تفاعل هامشي (Negligible) بين الجزيئات الممتزه ومواقع الامتزاز ومعادلة فراندلج والذي يفترض ان الامتزاز على شكل عدد من الطبقات على مواقع الامتزاز وان سطح الامتزاز يتصف بتوزيع غير متجانس(heterogeneous) للطاقه على المواقع النشطة مع وجود تداخل بين الجزيئات الممتزة، (El Nemr, 2009; Khambhaty, etal,2009) .تم حساب معامل التحديد (R²) للتعرف على افضل المعادلات في تمثيل القيم التجريبية من خلال تحقيق اقصى قيمه لمعامل التحديد .

تطبيق معادلات الامتزاز على عنصر الرصاص:

يبين جدول (3) نتائج تطبيق معادلات الامتزاز على عنصر الرصاص لبعض الترب المدروسة لمعرفة كفائتها في امتزاز هذا العنصر حيث أوضحت النتائج تفوق تربة النعمانية في محافظة واسط في قيم الامتزاز الأعظم qmax وسجلت 71% بينما كانت القل القيم في محافظة ميسان ناحية علي الغربي حيث بلغت كفاءة الازالة 36% وهذا يعكس بطبيعة الحال الكفاءة العالية لتربة النعمانية في إزالة عنصر الرصاص من التربة الملوثة (Yaseen,2020).اما قيم معمل الارتباط (R²) فقد بينت النتائج الى تفوق معادلة لانكماير في قيم معامل الارتباط حيث أعطت قيم مرتفعة لمعامل الارتباط مقارنة مع معادلة فرندلخ .

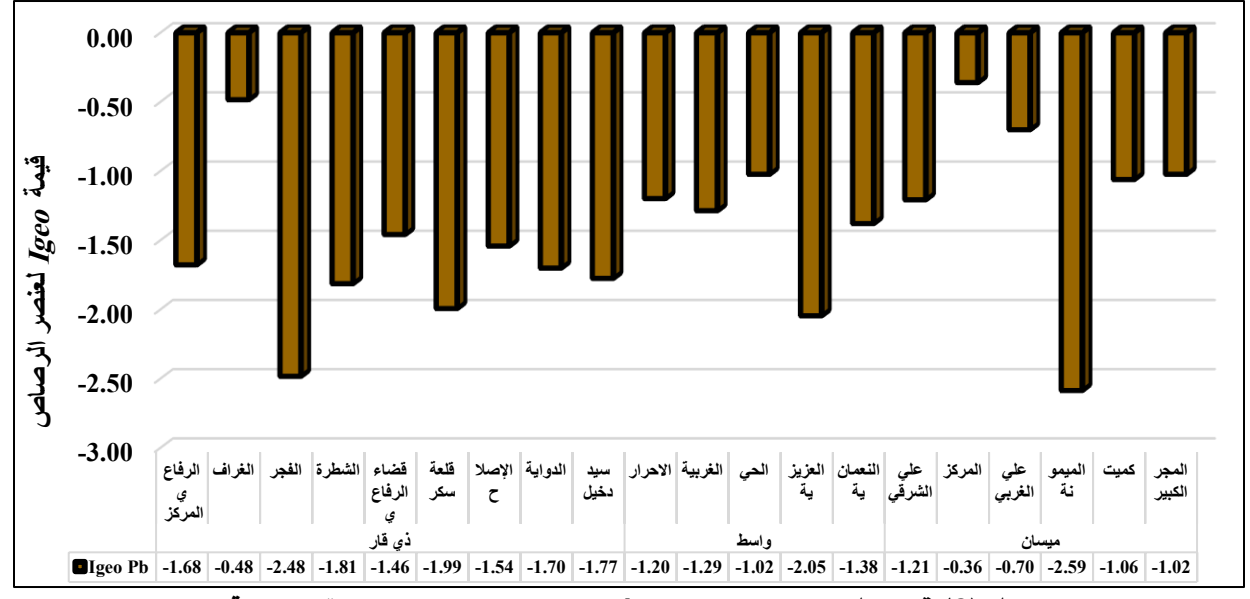
جدول (3) صيغ معادلات الامتزاز الخطية لعنصر الرصاص

كفاءة							
كفاءه			فريندلخ	لانكماير			
الازالة			<u>ر</u>			ے۔۔۔۔۔۔ ا	نالموقع
%	R^2	1/n	Kf	R^2	b	qmax	
71	0.85	5.86	5.60	0.86	5.60	5.86	الكوت -نعمانية
44	0.92	3.47	4.90	0.91	6.01	4.67	الكوت -الاحرار
57	0.80	4.96	3.82	0.96	5.10	5.76	الكوت-المركز
65	0.93	1.77	1.04	0.97	3.99	5.85	ذي قار - الرفاعي
52	0.99	2.87	0.08	0.90	4.42	4.38	ذي قار -سيد دخيل
58	0.94	3.07	1.25	0.91	5.12	5.33	ذي قار –الشطرة
36	0.64	2.33	0.22	0.83	3.38	1.81	ميسان–علي الغربي
41	0.749	3.06	1.17	0.93	4.18	2.11	ميسان-المجر
51	0.84	1.43	1.19	0.95	2.87	3.85	ميسان-الميمونة

معاير التلوث للعناصر الثقيلة في ترب الدراسة

دليل التراكم الأرضى (geo) لعنصر الرصاص (Pb)

تشير نتائج الشكل (1) إلى اختلاف قيم دليل التراكم الأرضي لعنصر الرصاص بالنسبة للترب المدروسة، يتبين أن أعلى قيمة في ميسان –المركز بلغت (2.59 -)، وتبين النتائج أن قيم دليل التراكم الأرضي في ميسان –المركز بلغت (2.59 -)، وتبين النتائج أن قيم دليل التراكم الأرضي في جميع مواقع الدراسة للمواقع الترب تتراوح بين غير ملوثة أو معتدلة unpolluted to moderately polluted التلوث إلى ملوثة بشكل معتدل Farhan (2020) وهذه النتائج تتفق مع ما توصل اليه (2020) Farhan والذي وجد ان تربة محطة كهرباء الزبيدية ومعامل الطابوق في محافظة واسط صنفت بأنها ترب متوسطة التلوث بعنصر الكادميوم.

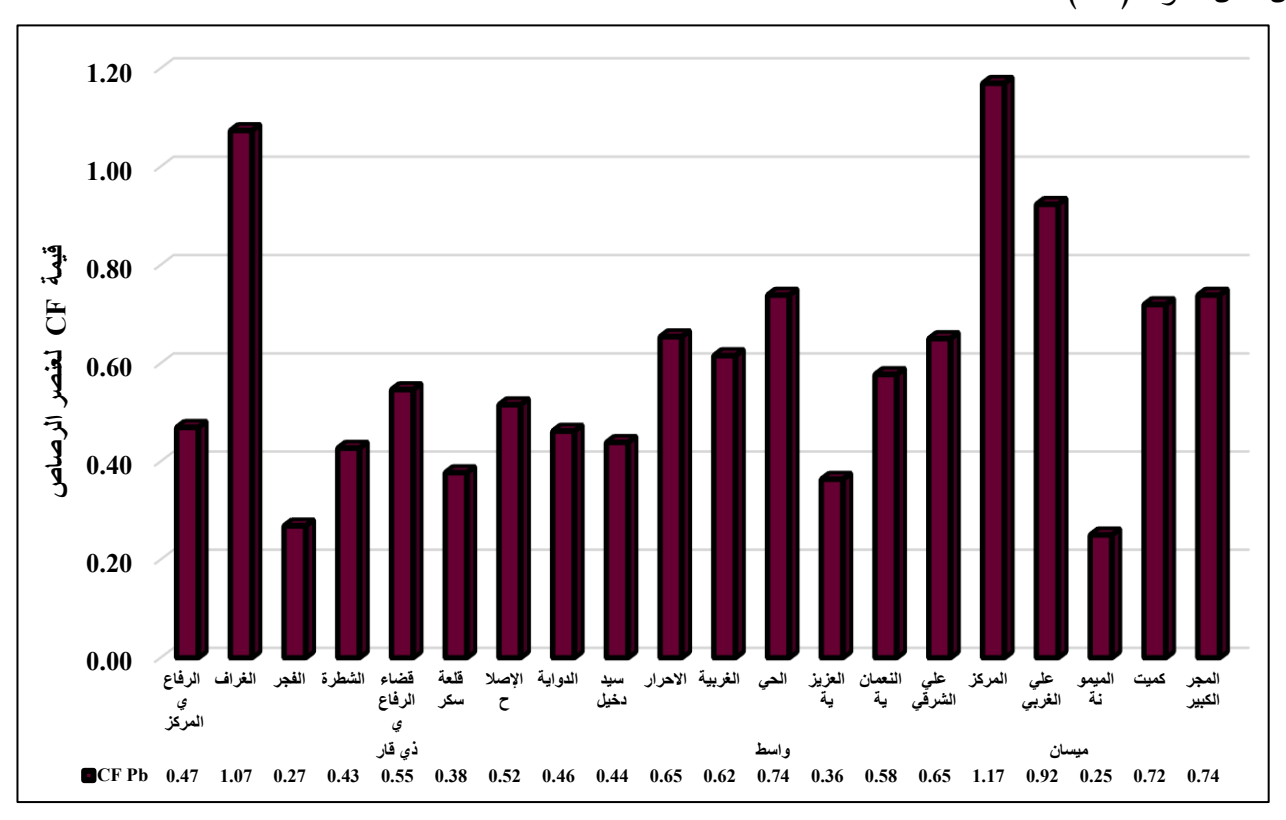


شكل (8) قيم دليل التراكم الارضي Igeo لعنصر الرصاص لترب مواقع الدراسة

4-5عامل التلوث (CF)

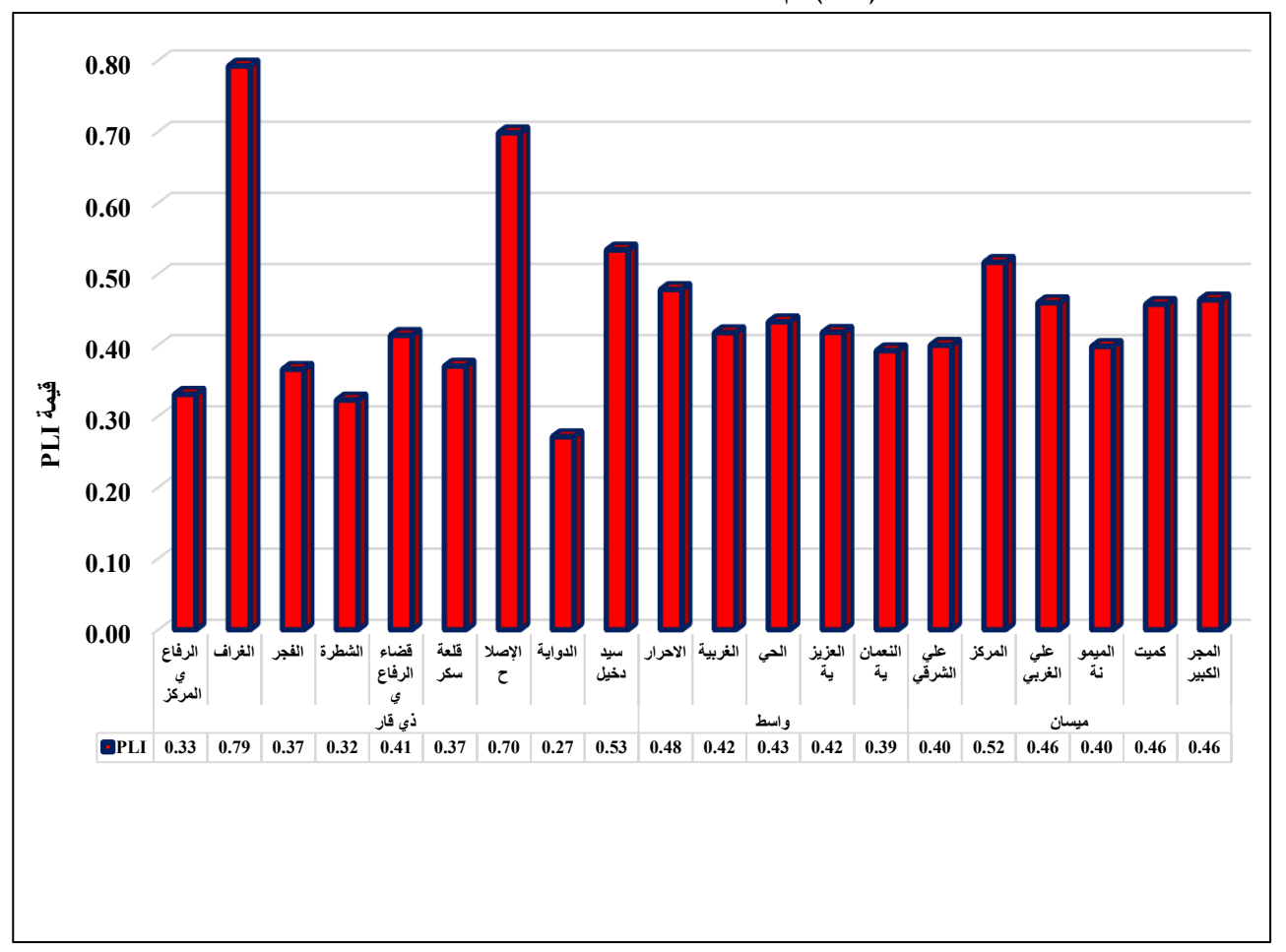
يبين الشكل (11) قيم دليل عامل التاوث لعنصر الرصاص لترب المواقع الترب المدروسة اذ كانت اعلى قيمة في ميسان المركز بلغت (1.17) ، واقل قيمة كانت في منطقة الميمونة بلغت (0.25)، ويلاحظ أن قيم دليل عامل التلوث في جميع مواقع الترب المدروسة للمواقع تتراوح بين تلوث منخفض Low Contamination الى تلوث معتدل Abdulatef (2020) واتفقت نتائج دراستنا مع ما توصل اليه (2020) Abdulatef من زيادة قيمة عامل التلوث لعنصر الرصاص في المواقع القريبة من مصفى النفطية

شكل (11) قيم دنيل عامل التلوث CF لعنصر الرصاص للمواقع الترب المدروسة دليل حمل التلوث (PLI)



ان أول من طبق هذه المعادلة هو 1980 (1980) وهو يمثل حاصل ضرب عامل التلوث لكل عنصر ملوث (CF) مرفوع لقوة مقسوم على عدد العناصر الثقيلة المدروسة ، يبين الشكل(14) قيم دليل حمل التلوث للمواقع الترب المدروسة كانت أعلى قيمة لدليل حمل التلوث في منطقة الغراف بلغت 0.79 واقل قيمة كانت في منطقة الدواية بلغت 0.27، يوضح الشكل (14) قيم دليل حمل التلوث للمواقع المدروسة كما توضح النتائج ان جميع المواقع المدروسة ضمن الحد المسموح بها وان كل القيم كانت أقل من 1 وهذا يدل الى وجود حالة عدم تدهور في جميع المواقع .وهذا يرجع لعدة أسباب البعد منها التسرب من الأنابيب والخزانات مثل أنابيب النفط ومشتقاته، نقل وتخزين المواد الخام ونفاياتها، انبعاث الملوثات الى أماكن تجميعها ضمن البيئة والمحيط السيول (AL-Shaker,2018).

شكل (14)قيم دنيل حمل التلوث PLI للترب المدروسة



References

Bergaya, F., Lagaly, G., (2013). Chapter 1-General Introduction: Clays, Clay Minerals, and Clay Science. Developments in Clay Science. Elsevier Ltd, pp. 1e18.

Dong, Y., Lin, H., Zhao, Y., & Menzembere, E. R. G. Y. (2021). Remediation of vanadium-contaminated soils by the combination of natural elay mineral and humic acid. Journal of Cleaner Production, 279, 123874.

Cheng, S., Liu, G., Zhou, C., Sun, R., 2018. Chemical speciation and risk assessment of cadmium in soils around a typical coal mining area of China. Ecotoxicol. Environ.Saf. 160, 67e74.

Alomar, Hassan Jassim Obaid Noman (2017). The effect of Nasiriyah brick factories on soil, water and plant pollution with some heavy elements. Higher Diploma. College of Agriculture - University of Baghdad.

El-Nemr, A.(2009). Potential of pomegranate husk carbon for Cr (VI) removal from wastewater: kinetic and isotherm studies. J. Hazard. Mater., 161(1):132-141.

Khambhaty, X.; K. Mody; S. Bash and B. Jha (2009). Kinetics equilibrium and thermodynamic studies on bio sorption of hexavalent Chromium by dead fungal biomass of marine *Aspergillus niger*. Chem.Eng.J.,145(3):489-495.

Farhan, Bassem Hussein (2020). Study of soil, water and plant pollution with some heavy elements from industrial waste in Wasit Governorate. Doctoral thesis. College of Agricultural Engineering Sciences, University of Baghdad.

Abdul Latif, Ali Akram (2020) Pollution with heavy and radioactive elements of the soil and plants of the city of Baghdad. Phd thesis. College of Agriculture. Baghdad University.

Hakanson, L. 1980. An ecological risk index for aquatic pollution control, a sedimentlogical approach.

Al-Shaker, Yousra Majeed and Amna Basil Muhammad (2018). Evaluating the environmental reality of the Al-Matrouh treatment plants, Qayyarah Refinery. Al-Rafidain Science Magazine, Volume 28, Issue 2, pp.8-22.

Yasin, Mohamed Malik. (2020) Study of the equilibrium, dynamics and kinetics of nickel adsorption on kaolinite, bentonite and local clay minerals. Maysan Journal of Academic Studies: 19(39).126-188.

Page, A. L.; R. H. Miller and D. R Keeney (1982). Methods of soil analysis, part 2 2nd ASA Inc. Madison, Wisconsin. 1158 pp.

Conflicts of Interest Statement.....

Manuscript title: The efficiency of some Iraqi clays in adsorbing lead using miscible displacement method

The authors whose names are listed immediately below certify that they have NO affiliations with or involvement in any organization or entity with any financial interest (such as honoraria; educational grants; participation in speakers' bureaus; membership, employment, consultancies, stock ownership, or other equity interest; and expert testimony or patent-licensing arrangements), or non-financial interest (such as personal or professional relationships, affiliations, knowledge or beliefs) in the subject matter or materials discussed in this manuscript.

Author names:

- 1. Abathur Sabar Khalaf¹
- 2. Hashim Haneen Kareem²
- 3. Mahdi Wasmy Soheib³

The authors whose names are listed immediately below report the following details of affiliation or involvement in an organization or entity with a financial or non-financial interest in the subject matter or materials discussed in this manuscript. Please specify the nature of the conflict on a separate sheet of paper if the space below is inadequate.

Author names:

1. Abathur Sabar Khalaf 2. Hashim Haneen Kareem 3. Mahdi Wasmy Soheib

This statement is signed by all the authors to indicate agreement that the above information is true and correct (a photocopy of this form may be used if there are more than 10 authors):

Author's name (typed) Author's signature **Date**

1. Abathur Sabar Khalaf

2. Hashim Haneen Kareem

2025/5/1